

## COMPARATIVE STUDY OF *NEOSPORA CANINUM* STRAINS (NC-5, Nc1, BPA4) INFECTION IN NATURALLY INFECTED CATTLE IN SYRIA

W.A. AL-OBAIDII; M.M. KATRANJI and A. AL-KHALED

Dept of Microbiology, Faculty of Veterinary Medicine, Al-Baath University, Syria Arab Republic.

### ABSTRACT

Received at: 11/6/2012

Accepted: 25/8/2012

In order to isolate *Neospora caninum* in cell culture (Vero cell) and diagnosis the strains by using Real Time Polymerase Chain Reaction by using three different primers pairs (NC-5, Nc1 and BPA4) from the tissue of 25 aborted fetus, 14 new borne calves and 39 cattle which suffer from abortion in different stages of pregnancy, the study showed from culturing of tissue sample extract in tissue culture, Cyto Pathic Effect this effect manifested by Vacule, Rupture in cell and presence of tachyzoites, and this effect variance in density between samples and passages, the first CPE appear in 3<sup>rd</sup> passage of aborted fetus heart, in 4<sup>th</sup> passage of calves brain and heart, and cow placenta. When application the PCR technique in DNA template which extracted from infected cell culture ,showed presence increased fluorescent curve which indicate positive sample, the highest percentage of infection in cell culture which infected with brain and skeletal muscle of Aborted fetus and Heart, skeletal muscle of calves, and blood sample of cow, the highest percentage in 2<sup>nd</sup> trimester aborted fetus, in calves which suffer from recumbence, and in cow which aborted in 2<sup>nd</sup> trimester. The high percentage of NC-5 strain in blood sample of cow, brain of calves, brain and skeletal muscle of aborted fetus, Nc1 strain not appear in blood sample of cow, calves and brain of calves in additional of brain and skeletal muscle of aborted fetus, while highest percentage of BPA4 strain appear in skeletal muscle of calves and aborted fetus and blood of cow

**Key Words:** *Neospora caninum*, Real Time PCR, Strains, Vero cell.

### دراسة مقارنة الإصابة بذراري البوغة الجديدة الكلبية (NC-5, Nc1, BPA4) في الأبقار المصابة طبيعياً في سوريا

وسن امجد العبيدي ، محمد محسن قطرنجي ، عبد الكريم الخالد

تم جمع أعضاء (دماغ، قلب، عضلات هيكلية) من 25 جنينا مجهضا و 14 عجلا إضافة إلى جمع عينات دم من العجول، و 29 عينة دم ومشيمة من أبقار مجهضة، وذلك بهدف عزل طفيلي البوغة الجديدة الكلبية على خلايا الزرع الخلوي (خلايا كلية أجنة القرود الإفريقية الخضراء) والكشف عن ذراريه بتقنية تفاعل سلسلة البوليميريز ذو الوقت الحقيقي، وباستخدام 3 أزواج من المشرعات للذراري (NC-5, Nc1, BPA4)، وتبين من خلال تنمية الأعضاء على خلايا الزرع الخلوي ظهور تأثيرات مرضية خلوية، تباينت بالشدة بين الأعضاء والتمريرات، وإن أول ظهور للتأثيرات كان في التمريرة الثالثة لعينات القلب للأجنة، وفي التمريرة الرابعة لعينات القلب والدماغ للعجول ولمشيمة الأبقار. وعند إجراء اختبار تفاعل سلسلة البوليميريز على قوالب جزيه الدنا التي تم استخلاصها من المزارع الخلوية التي أظهرت نموا للطفيلي تبين وجود منحنيات تآلق ايجابية، سجلت أعلى نسبة للإصابة في المزارع الخلوية لدمغة والعضلات الهيكلية للأجنة والقلب والعضلات الهيكلية للعجول، ودم الأبقار. وظهرت أعلى نسبة للإصابة في الأجنة المجهضة في الثلث الثاني من الحمل، العجول التي تعاني من عدم القدرة على النهوض وفي الأبقار التي أجهضت في الثلث الثاني، وتبين من خلال فحص الدنا للطفيلي للكشف عن ذراري البوغة الجديدة الكلبية، إن أعلى نسبة إصابة للذرية NC-5 في عينات الدم للأبقار، ودماغ العجول، وفي دمغة والعضلات الهيكلية للأجنة، أما الذرية Nc1 فكانت نسب الإصابة فيها منخفضة في دم الأبقار والعجول ودمغة العجول والدماغ والعضلات الهيكلية للأجنة، وأظهرت الذرية BPA4 أعلى نسبة إصابة في العضلات الهيكلية للعجول والأجنة ودم الأبقار.

### INTRODUCTION

#### المقدمة

تعد البوغة الجديدة الكلبية من الأكريات الطفيلية Coccidian parasite، عرف الطفيلي لأول مرة في عام 1984م في النرويج في الكلاب من نوع Boxer dog litter والتي كانت بأعمار 2-6 أشهر، تعاني من علامات التهاب الدماغ Encephalomyelitis والتهاب العضلات Myositis والمرج Lameness حيث سمي في ذلك الحين باسم Toxoplasma like protozoan (Bjerkas et al., 1984)، ومن الجدير بالذكر بأنه وجد منذ عام 1988م أن للطفيلي علاقة وطيدة بالمشاكل التناسلية في الأبقار فضلا عن تسببه في ظهور أعراض عصبية في العجول المولودة حديثا (Jessica et al., 2011)، وتتعلق هذه الأعراض بغزو الحيوانات التسرع للطفيلي Tachyzoites لأنسجة الأم والجنين، حيث وجدت في أنسجة مختلفة في جسم الثوي خلال الطور الحاد للمرض بينما وجدت الأكياس النسيجية Tissue cyst في الطورين الحاد والمزمن

وخصوصا في الدماغ (Timothy et al., 1999)، وبعد تشخيص طفيلي البوغة الجديدة الكلبية صعبا " نظرا " لعدم وجود أعراضا مرضية متخصصة في الأبقار وكذلك عدم وجود اختبارات طفيلية تشخيصية لها القدرة لتمييزها، بالإضافة إلى ذلك فإن السيطرة على البوغة الجديدة الكلبية يفترض لوجود لقاح ناجح أو علاج له القدرة على تقليل تكاثر الطفيلي في الأنسجة (Habibi et al., 2005).

ويعتمد تشخيص البوغة الجديدة الكلبية على عدة جوانب منها، التنصيص عن الأضداد المتخصصة للطفيلي في مصول الحيوانات المصابة من خلال عدة اختبارات مصلية منها تقنية المقاييس المناعية المرتبطة بالإنزيم ELISA، اختبار الومضان المناعي غير المباشر IFAT، اختبار التراص المباشر DAT (Dubey et al., 2007)، أو من خلال الكشف عن الطفيلي زرعيا " بإثامه الطفيلي على خلايا الزرع الخلوي وذلك نظرا " لقدرة الحيوانات التمرعية على النمو على عدة أنواع من خلايا الزرع الخلوي منها (خلايا كلية أجنة القروء الإفريقية الخضراء، خلايا بطانة الشريان الرئوي والخلايا وحيدة النواة للأبقار)، حيث تستخدم هذه الخلايا بصورة واسعة في تنمية الحيوانات التمرعية وذلك بغرض إكثار أعدادها، ودراسة البنية المستدقة، والصفات المستضدية، والدراسات الجزيئية، ودراسة قدرة الحيوانات التمرعية على الالتصاق على الخلايا وآلية ذلك (ميكانيكيتها)، ودراسة حيوية الحيوانات التمرعية ومن ثم تحقيق الهدف الرئيسي ألا وهو تشخيص الطفيلي (Katarina et al., 2011)، لذلك اتجهت الأبحاث في السنوات الماضية إلى تقنية متقدمة تهدف إلى الكشف عن الدنا للطفيلي من خلال تقنية تفاعل سلسلة البوليميريز Polymerase Chain Reaction (PCR)، حيث تعتبر طريقة حساسة للكشف، وذلك من خلال تضخيم لمورث محدد للطفيلي ومن ثم تحديده (Norbert et al., 2002)، حيث يعد المورث NC5 أكثرها شيوعا، إلا أنه وفي الأونة الأخيرة تم استخدام المورث ITS1 أيضا، وتتمتع هذه التقنية بميزات عديدة منها الحساسية العالية، الدقة، الكشف عن الطفيلي حتى لو كان بأعداد قليلة، هذا بالإضافة للكشف عن الطفيلي في المزارع الخلوية، وأنسجة الجنين والأم، والسوائل الجينية، والكشف عن الدنا للحيوانات التمرعية، والحيوانات البطينة Bradyzoites والكيسة البيضوية oocyst، وكذلك القدرة على الكشف عن الطفيلي في أثوياء متعددة لتشمل الحيوانات المختبرية أيضا (Esther et al., 2002)، وطورت هذه التقنية لتشمل أنواعا دقيقة جدا مثل (ذات الوقت الحقيقي Real Time، المتداخل Nested، نصف المتداخل Seminedsted، الكمي التنافسي Quantitative-Competitive التي تعتبر ذات قدرة عالية وسريعة لتقدير كمية ونوعية الطفيلي في الأنسجة فضلا عن ذلك يوجد النوع التقليدي للتقنية (Classic PCR) والتي لها فوائد أخرى منها تشخيص الذراري المتعددة للطفيلي من خلال استخدام أنواع متخصصة لكل ذرية من المشرعات (Salehi et al., 2009) Primers.

ولعدم وجود دراسة إلى هذا الوقت تتضمن الكشف عن الطفيلي وذراريه في سوريا فقد أنجزت هذه الدراسة لأول مرة في سوريا وذلك لتحقيق الأهداف التالية:

١- عزل طفيلي البوغة الجديدة الكلبية من أنسجة الأبقار، العجول والأجنة المجهضة على خلايا الزرع الخلوي من نوع خلايا كلية أجنة القروء الإفريقية الخضراء.

٢- المقارنة بين نسب الإصابة بذراري البوغة الجديدة الكلبية من خلال تقنية تفاعل سلسلة البوليميريز ذو الوقت الحقيقي Real Time PCR.

## MATERIALS and METHODS

### المواد وطرق البحث

#### ١- جمع العينات:

تم جمع عينات من ٢٥ جنينا مجهضا وأعمار مختلفة، فضلا عن جمع عينات من ١٤ عجلا ولدت ضعيفة وبعثت البعض منها من أعراض عصبية وعدم القدرة على الوقوف، حيث جمعت العينات بعد نفوق العجول إضافة إلى جمع المشيمة وعينات الدم من ٢٩ بقرة تعاني من الإجهاض ويفترحات حمل مختلفة.

وضع الدم في أنابيب اختبار حاوية على مانع تخثر (هيبارين) أضيف لها حجم مماثل من الفايكول ومن ثم وضعت في جهاز المثقلة ٢٠٠٠ دورة /دقيقة، ٤ م، ٥ م، ١٠ دقائق سحبت طبقة الخلايا اللمفاوية (Buffy Coat) وحفظت في ٤ م ه لحين إجراء إتمام الطفيلي، وتم إجراء العسفة التشريحية على الأجنة المجهضة والعجول النافقة باستخدام أدوات جراحية معقمة وأخذ منها الدماغ، أجزاء من العضلات الهيكلية والقلب بالإضافة إلى أجزاء من المشيمة من الأبقار، وقد وضعت أجزاء من هذه الأعضاء في قوارير معقمة معدة مسبقا لهذا الغرض حيث تكون حاوية على محلول دارنة النوسفات (PBS) متعادل والحوي على ١٠٠ وحدة دولية / ١ مليلتر من البنسلين ج (Penicillin G)، سلفات الستربتوميسين بمقدار ٥٠ مايكروغرام / ١ مليلتر (Streptomycin Sulfate) وسلفات الجنتاميسين (Gentamicine Sulfate) بمقدار ٥٠ ملغم / ١ لتر وصادات فطور متمثلة امفوتريسين ب (Amphotericin B) بمقدار ٢,٥ ملغم / ١ لتر وذلك لغرض عزل الطفيلي على خلايا الزرع الخلوي (Masumi et al., 2000).

#### ٢- عزل الطفيلي:

تم أخذ ٢٠ غراما من الأعضاء المضاف إليها محلول دارني الفوسفات الحاوية على الصادات الحيوية كل عضو على حده، وقطعت في هاون خزفي معقم إلى قطع صغيرة باستخدام مقص جراحي معقم، ونقلت العينة بعد ذلك إلى حوالة الهضم بالتريبسين (Trypsinized Flask)، ووضع معها قطعة من مغناطيس معقم ومن ثم أضيف إليها ٤٠ مليلتر من محلول دارنة حاوي على ٠,٢٥% تريبسين و ٠,٢٥% من ملح EDTA (Ethylene Diamin Tetracetic Acid)، حيث حضنت بدرجة ٣٧ م لمدة ٤٥ دقيقة مع التحريك المستمر باستخدام جهاز المزج المغناطيسي، ثم وضع المزيج في أنابيب معقمة ووضعت في جهاز المثقلة المبردة (٤ م) ٢٠٠٠ دورة/دقيقة لمدة ١٠ دقائق، وتم التخلص من الراشح، ثم أضيف ١٠ مليلتر من الوسط الزرع لل نمو (MEM Minimal Essential Media)، إلى الراسب وتم مزجها جيدا ومن ثم وضع المزيج في جهاز المثقلة، تم تكرار هذه العملية ثلاث مرات لغرض غسل الراسب ومن ثم علق هذا الراسب في ١٠ مليلتر من الوسط الزرع لل نمو MEM ليحفظ في درجة حرارة ٤ م ه لحين إجراء الإنماء على خلايا الزرع الخلوي (Nathalie, 2003).

#### ٣- تحضير الوسط الزرع للنمو Growth Media:

تم إضافة ١٠,٦٩ غرام من الوسط الزرع مع ١٠ غرام من مرق التريبوز الفوسفاتي Tryptose phosphate broth، ٠,٥٨٤، من الكلوتامين L-glutamine، ١,٥ غرام بيكاربونات الصوديوم NaHCO<sub>3</sub>(2H<sub>2</sub>O)، ١٠٠,٠٠٠ وحدة دولية بنسلين ج Penicillin G، ١٠٠ ملغمرام سلفات الستربتوميسين Streptomycin Sulfate، ٥٠ ملغمرام سلفات الجنتاميسين Gentamicine sulfate، ٢,٥ ملغمرام امفوتريسين ب Amphotericin B، تم إذابة الخليط في ماء مقطر ثنائي التقطير وخال من الكهارل (٩٠٠ مليلتر) ويتم التأكد من الباء هاء (PH=7.2)، ومن ثم رشح تحت ضغط موجب (٢٠ مايكرون) تم إضافة ١٠٠ مليلتر من مصل الجنين البقري وحفظ في ٤ م، (Rai,2008).

٤- خلايا الزرع الخلوي المستمر : تم استخدام خلايا زرع خلوي من نوع خلايا كلية جنين القروود الخضراء الأفريقية Vero cell، حيث تم الحصول عليها من قسم اللقاحات- مديرية الصحة الحيوانية التابعة لوزارة الزراعة في دمشق، وتم الإتمام والإكثار للطفيلي.

٥- إتمام الطفيلي: تم إتباع طريقة (Yamane et al., 1997)، حيث تم مزج العالق الذي تم تحضيره مسبقاً في عملية عزل الطفيلي ب ١٠ مليلتر من خلايا كلية أجنة القروود الخضراء الأفريقية ومن ثم حضنت لمدة ٤ ساعات بدرجة حرارة ٣٧ م° ووضع للمزيج في أنابيب معقمة في جهاز المثقلة ٢٠٠٠ دورة لمدة ١٠ دقائق ومن ثم تم التخلص من الراشح، وغسل أنسب الحاوي على الخلايا ثلاث مرات بمحلول دارنة الفوسفات المعقمة والذي يكون بدرجة حرارة ٣٧ م°، ونقلت الخلايا فيما بعد إلى الحويلة الخاصة للزرع الخلوي (Falcon سعة ٥٠ مليلتر) ومن ثم أضيف إليها وسط النمو (Growth media)، تم تحضين الخلايا في ٣٧ م°، ٥% CO<sub>2</sub>، وتم مراقبة الخلايا يوميا بفحصها تحت المجهر ويراعى استبدال الوسط كل ٥ أيام وإجراء تمريره واحدة كل ٤٠ يوماً من التحضين ولسته تمريرات.

٦- استخلاص الدنا DNA Extraction : تم إجراء استخلاص الدنا حسب تعليمات الشركة المصنعة للعتيدة (OMEGA bio-ket)

- تحضير المحاليل: \* تحضير إنزيم البروتيناز (Proteinase K): تم إذابة الإنزيم والبالغة كميته ١٢٠ ملغم في ٤,٨ مليلتر من دارنة حفظ إنزيم البروتيناز Proteinase storage buffer.

\* تحضير دارنة الغسل SPM Wash buffer: تم إضافة ٤ مليلتر من الايتانول المطلق ١٠٠% إلى ٦٠ مليلتر من دارنة الغسل لتكون جاهزة للاستخدام.

\* تحضير دارنة MP: تم إضافة ٦٠ مليلتر من الايتانول المطلق ١٠٠% إلى ٤٠ مليلتر من دارنة MP لتكون جاهزة للاستخدام.

- استخلاص الدنا للطفيلي DNA من المزارع الخلوية:

تم حصاد الخلايا من حويلة الزرع الخلوي باستخدام مكشطة الخلايا المطاطية cell scraper، ثم تم غسل الخلايا ثلاث مرات باستخدام محلول دارنة الفوسفات البارد (٤ م°)، وتم تطبيقها في دارنة الفوسفات البارد (٤ م°) ١٨٠ مايكروليتر، ومن ثم إضافة ٢٠ مايكروليتر من إنزيم بروتيناز K (Proteinase K) (25 mg/ml)، ومزج جيداً وحضن في الحمام المائي الهزاز ٥٥ م° لمدة ١٠ دقائق، وتم بعد ذلك نقل العينة في أنابيب ايندورف Eppendorf حجم ١,٥ مليلتر معقمة، وبالتالي إضافة ٢٠٠ مايكروليتر من دارنة MSL ومزج جيداً وحضن ١٠ دقائق عند درجة حرارة ٧٠ م°، وترك الأنبوب في درجة حرارة الغرفة لمدة ٥ دقائق، ثم أضيف الايتانول المطلق ١٠٠% بمقدار ٢٦٠ مايكروليتر مع ١٠ مايكروليتر من الجزيئات المغناطيسية Mag-Bind Particles و ١٠ مايكروليتر من دارنة LPA، ومزج جيداً وحضن لمدة ٥ دقائق في درجة الغرفة، ووضع الأنبوب فوق جهاز الفصل المغناطيسي لمدة ٧ دقائق، ثم أزيل السائل الراشح باستخدام ماصة دقيقة، وتم إضافة ٤٠٠ مايكروليتر من دارنة MP ومزج جيداً، وحضن بعد ذلك لمدة ٣ دقائق في درجة حرارة الغرفة ووضع الأنبوب فوق جهاز الفصل المغناطيسي لمدة ٧ دقائق وتم التخلص من الراشح باستخدام ماصة دقيقة وأضيف SPM Wash Buffer مع المزج الجيد وحضن ٣ دقائق في درجة حرارة الغرفة، ووضع الأنبوب فوق جهاز الفصل المغناطيسي لمدة ٧ دقائق، وتم التخلص من الراشح باستخدام ماصة دقيقة، وأعيدت صلية الغسل بدارنة الغسل SPM Wash Buffer مع المزج الجيد وحضن ٢٠٠ مايكروليتر لشطف الدنا عن الجزيئات المغناطيسية مع مراعاة المزج الجيد ومن ثم تم التحضين ١٠ دقائق في درجة حرارة الغرفة، ووضع الأنبوب فوق جهاز الفصل المغناطيسي لمدة ٧ دقائق وسحب الراشح الحاوي على جزيئات الدنا المستخلصة ونقل إلى أنبوبة ايندورف Eppendorf حجم ١,٥ مليلتر معقمة أخرى، وحفظ الأنبوب في -٧٠ م° لحين إجراء اختبار تفاعل سلسلة البوليميريز عليه.

٧- تفاعل سلسلة البوليميريز -خو الوقت الحقيقي Real Time PCR تم استخدام العتيدة المنتجة من قبل شركة (Genekam Biotechnology AG Germany) (الشكل-١) والتي تعتمد على صبغات ومضائية Fluorogenic

-( Carboxy-fluorescein (quencher))  
-(6-carboxy tetramethyl rhodamine(reporter))

١-٧- المحاليل والمواد المستخدمة في تفاعل البوليميريز عبارة عن مزيج تفاعل يحتوي على كل مكونات التفاعل مع المشروعات وقالب الدنا المراد اختباره، ويتكون مزيج التفاعل لكل عينة حجم ٢٥ مايكروليتر من المواد التالية:

ت	اسم المادة	الكمية (ul)	التركيز النهائي
١-	10X PCR Buffer	2.5	1X
٢-	dNTPs(dATP, dCTP, dGTP, & dTTP)	0.5	200uM
٣-	Mgcl2	3.25	1.5mM
٤-	Taq DNA-Polymerase	0.125	2.5 units
٥-	Dyes	0.25	100nM
٦-	Primer A	0.2	800nM
٧-	Primer B	0.2	800nM
٨-	DNA Template	5	-
٩-	RNA Free Water	12.975	-

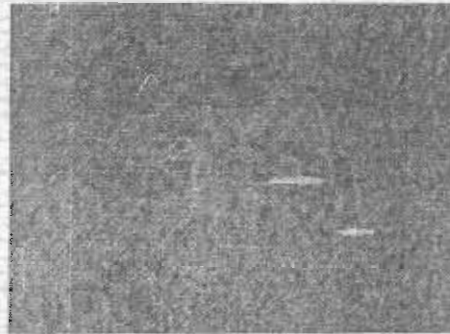
٢-٧- المشرعات أو البادئات: Primers صنعتت هذه المشرعات من قبل شركة GenBank Accession، وتم انتقاء هذه المشرعات من أجل تضخيم المورثات لكل من البشري (Nathalie, 2003) (NC-5, NcI and BPA-4)، وقد تضمنت ٣ أزواج من المشرعات وكما يلي:

ت	اسم الذرية	تسلسل البادئة الوراثي ٣'٥'	الحجم (bp)
١	NC-5	٣' CACAAGTCGCACGGAGGTCA'٥' ٣' AAGGAGAACGCTTCGTAACAA'٥'	٧٦
٢	BPA-4	٣' CACACACTTGCCCACTTGGCTCCCT'٥' ٣' ACCATCGCCACTCTCCACCCTATGCAC'٥'	٣٣٧
٣	NcI	٣' AATGTCCTAACCTGCGTGACCC'٥' ٣' TCTTCTGCATCCAACCTGACCGCTC'٥'	٣٢٧

٣-٧- خطوات عمل تفاعل سلسلة البوليمريز ذو الوقت الحقيقي:  
أجري اختبار تفاعل البوليمريز المتسلسل ذو الوقت الحقيقي حسب الطريقة الموصوفة من قبل (Esther et al., 2002) حيث أجري الاختبار في حجم تفاعل كلي من ٢٥ مايكروليتر في طبق الاختبار الحاوي على ٩٦ حفرة (Plate) حيث أضيف في كل حفرة ٠.٢ مايكروليتر من كل بادئ من البادئات Primers و ٥ مايكروليتر من قالب الدنا Template DNA وباقي الحجم من محلول مزيج التفاعل الجاهز Master mix الحاوي على جميع مكونات التفاعل باستثناء البادئات وقالب الدنا، ثم وضع بعد ذلك طبق الاختبار في المبلر الحراري (Thermocycler) (الشكل-٢). وأجريت عملية التضاعف Amplification بواسطة جهاز المبلر الحراري المبرمج على خمسين دورة بعد خطوة المسخ Denaturing ٩٥°م لمدة ١٠ دقائق. وقد شملت كل دورة مسخ عند درجة حرارة ٩٤°م لمدة خمسة ثواني ٢٥ دورة، ارتباط Annealing البادئ أو المشرع بدرجة ٦٠°م لمدة ١٥ ثانية، واستطالة Elongation عند درجة حرارة ٧٢°م لمدة ١٥ ثانية، ثم ٢٥ دورة مسخ ٩٤°م لمدة ٥ ثواني، ارتباط ٦٦°م لمدة ٥ ثواني، استطالة ٧٢°م لمدة ٤٥ ثانية.



الشكل (٢) جهاز البصرة الخاص لتفاعل سلسلة البوليمريز ذو الوقت الحقيقي



الشكل (١) عتيدة تفاعل سلسلة البوليمريز ذو الوقت الحقيقي

## RESULTS

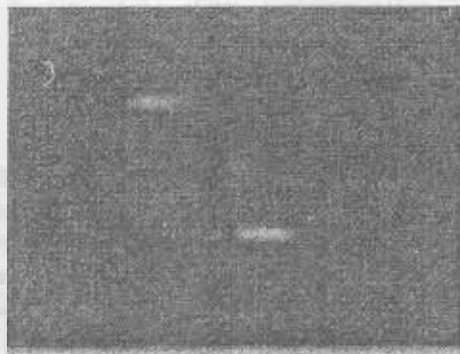
### النتائج

تبين من خلال تنمية الأعضاء المختلفة المأخوذة من الأجنة المجهضة، المعول والأبقار على خلايا الزرع الخلوي من نوع خلايا كلية أجنة القروود الأفريقية الخضراء (شكل-٣) ولستة تمريرات، وجود تمريرات صباء (Blind passage) حيث كانت متباينة حسب مصدر ونوع العضو المراد عزل الطفيبي منه، ومن ثم ظهور تأثير مرضي على الخلايا Cyto Pathic Effect (CPE) متمثلة بظهور فجوات بين الخلايا Vacuie (شكل-٤) وتمزق في الخلايا Rupture (شكل-٥) وظهور الحيوانات التسرعية (شكل-٦). حيث كانت هذه التأثيرات متباينة الشدة بين الأعضاء والتمريرات وازدادت شدة بزيادة التمريرات، جدول-١.

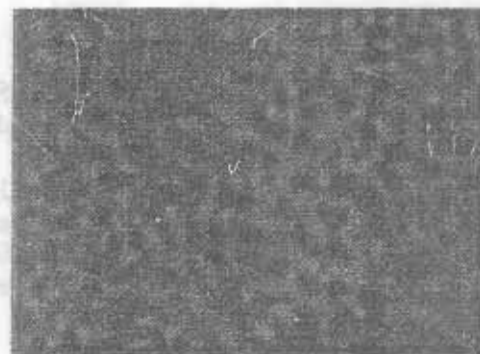
جدول ١: يبين التغيرات المرضية الخلوية Cyto Pathic Effect على خلايا الزرع الخلوي لخلايا كلية أجنة القرود الأفريقية الخضراء

ت	مصدر العينة	التأثير المرضي الخلوي	ظهور فجوات			تمزق الخلايا			ظهور الطفيلي	
			أجنة	عجول	أبقار	عجول	أبقار	عجول	أبقار	عجول
١	مشيمة	الأولى	-	-	-	-	-	-	-	-
		الثانية	-	-	-	-	-	-	-	-
		الثالثة	-	-	-	-	-	-	-	-
		الرابعة	-	-	-	-	-	-	-	-
		الخامسة	+	+	+	+	+	+	+	+
		السادسة	+	+	+	+	+	+	+	+
٢	دم	الأولى	-	-	-	-	-	-	-	-
		الثانية	-	-	-	-	-	-	-	-
		الثالثة	-	-	-	-	-	-	-	-
		الرابعة	-	-	-	-	-	-	-	-
		الخامسة	-	-	+	-	-	-	-	-
		السادسة	-	-	+	-	-	-	-	+
٣	دماغ	الأولى	-	-	-	-	-	-	-	-
		الثانية	-	-	-	-	-	-	-	-
		الثالثة	-	-	-	-	-	-	-	-
		الرابعة	-	-	-	+	-	-	-	-
		الخامسة	-	-	-	+	+	+	-	+
		السادسة	-	-	-	+	+	+	+	+
٤	القلب	الأولى	-	-	-	-	-	-	-	-
		الثانية	-	-	-	-	-	-	-	-
		الثالثة	-	-	-	-	-	-	-	+
		الرابعة	-	-	-	+	+	+	-	+
		الخامسة	-	-	-	+	+	+	+	+
		السادسة	-	-	-	+	+	+	+	+
٥	العضلات الهيكلية	الأولى	-	-	-	-	-	-	-	-
		الثانية	-	-	-	-	-	-	-	-
		الثالثة	-	-	-	-	-	-	-	-
		الرابعة	-	-	-	-	-	-	-	-
		الخامسة	-	-	-	+	+	+	+	-
		السادسة	-	-	-	+	+	+	+	+

الإشارات التالية (-) عدم ظهور تأثير خلوي، (+) ظهور تأثير خلوي



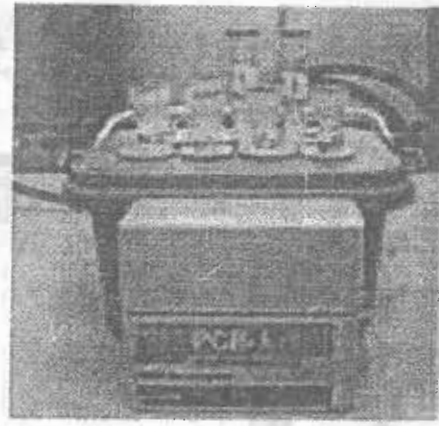
شكل (٤) ظهور التأثير المرضي الخلوي (الفجوات) في خلايا الزرع الخلوي



شكل (٣) خلايا كلية أجنة القرود الأفريقية الخضراء قبل حقنها بالطفيلي



شكل (٦) ظهور الحيوانات التسرعية للطفيلي في خلايا الزرع الخلوي



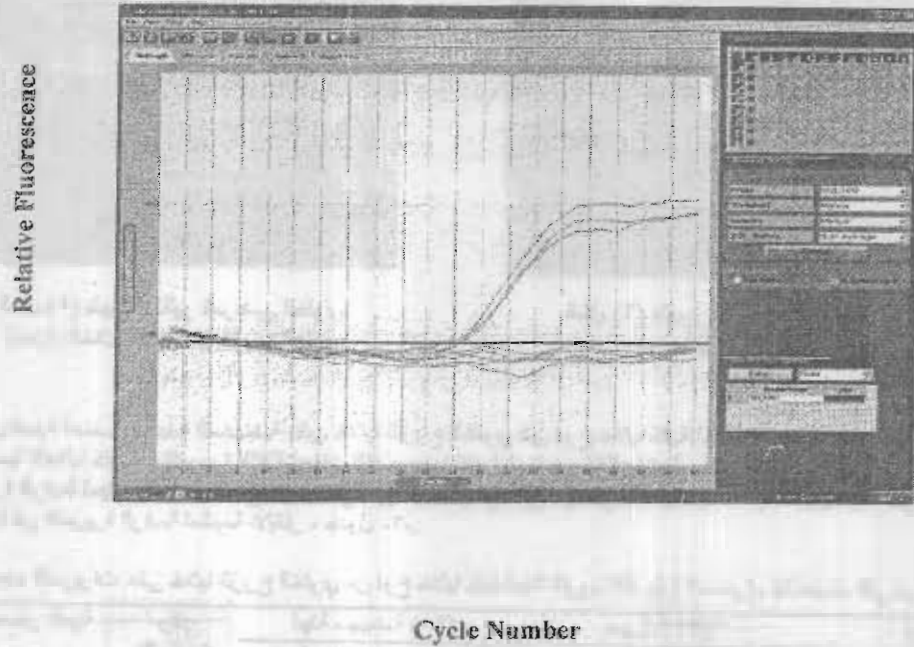
شكل (٥) ظهور التأثير المرضي الخلوي (تمزق الخلايا) في خلايا الزرع الخلوي

تبين من خلال تنمية أعضاء الأجنة المجهضة على خلايا الزرع الخلوي من نوع خلايا كلية أجنة القرود الأفريقية الخضراء أن أول ظهور للتأثيرات المرضية للخلايا كان في التمريرة الثالثة لعينات القلب، بينما كان أول ظهور للتأثيرات المرضية للخلايا في عينات العجول حديثة الولادة كان ذلك للتمريرة الرابعة لعينات القلب والدماغ سوياً، في حين لم يظهر أي تأثير مرضي للخلايا لعينات دم العجول، فيما كان أول ظهور للتأثيرات المرضية الخلوية في التمريرة الرابعة لمشيمة الأبقار، جدول ٢-.

جدول ٢: يبين عدد التمريرات على خلايا الزرع الخلوي من نوع خلايا كلية أجنة القرود الأفريقية الخضراء للأعضاء التي تم جمعها

ت	مصدر العينة	رقم التمريرة	أجنة مجهزة (٢٥)		عجول (١٤)		أبقار (٣٩)	
			عدد العينات الإيجابية	عدد العينات السلبية	عدد العينات الإيجابية	عدد العينات السلبية	عدد العينات الإيجابية	عدد العينات السلبية
١	مشيمة	الأولى	-	-	-	-	٣٩	٠
		الثانية	-	-	-	-	٣٩	٠
		الثالثة	-	-	-	-	٣٩	٠
		الرابعة	-	-	-	-	٣٧	٧
		الخامسة	-	-	-	-	٢٩	١٠
		السادسة	-	-	-	-	٢٩	١٠
٢	دم	الأولى	-	-	١٤	٠	٣٩	٠
		الثانية	-	-	١٤	٠	٣٩	٠
		الثالثة	-	-	١٤	٠	٣٩	٠
		الرابعة	-	-	١٤	٠	٣٩	٠
		الخامسة	-	-	١٤	٠	٣٨	١
		السادسة	-	-	١٤	٠	٣٧	٢
٣	دماغ	الأولى	٠	٢٥	٠	١٤	-	-
		الثانية	٠	٢٥	٠	١٤	-	-
		الثالثة	٠	٢٥	٠	١٤	-	-
		الرابعة	١	٢٤	٤	١٠	-	-
		الخامسة	٥	٢٠	٤	١٠	-	-
		السادسة	٦	١٩	٥	٩	-	-
٤	القلب	الأولى	٠	٢٥	٠	١٤	-	-
		الثانية	٠	٢٥	٠	١٤	-	-
		الثالثة	٢	٢٣	٠	١٤	-	-
		الرابعة	٣	٢٢	١	١٣	-	-
		الخامسة	٤	٢١	٢	١٢	-	-
		السادسة	٤	٢١	٣	١١	-	-
٥	العضلات الهيكلية	الأولى	٠	٢٥	٠	١٤	-	-
		الثانية	٠	٢٥	٠	١٤	-	-
		الثالثة	٠	٢٥	٠	١٤	-	-
		الرابعة	٠	٢٥	٠	١٤	-	-
		الخامسة	١	٢٤	١	١٣	-	-
		السادسة	٣	٢٢	١	١٣	-	-

و عند إجراء اختبار تفاعل سلسلة البوليميريز ذو الوقت الحقيقي باستخدام ثلاث مشروعات للذري (BPA4, NC-5, Nc1) بينت نتائج الاختبار لمسير DNA المصمم للمورث NC5 للبوغة الكلية بملاحظة منحنى التآلق لدورات تضخيم تفاعل البلمرة، حيث ظهرت النتيجة الايجابية بالارتفاع التدريجي المتزايد لمنحنى التآلق، (شكل ٧).



شكل (٧) يبين نتائج تفاعل سلسلة البوليميريز ذو الوقت الحقيقي Real Time PCR

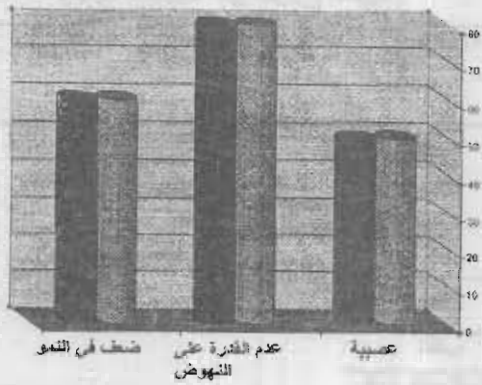
فيما بينت نتائج الكشف عن الدنا للطفيلي في المزارع الخلوية باستخدام تفاعل سلسلة البوليميريز ذو الوقت الحقيقي أن أعلى نسبة للإصابة في المزارع الخلوية المأخوذة من الأجنة، كانت عينات للدماغ والعضلات الهيكلية (١٠٠%)، أما بالنسبة للمزارع الخلوية التي تمت عليها تنمية عينات العجول فبلغ أعلى نسبة إصابة لعينات القلب والعضلات الهيكلية (١٠٠%)، بينما تبين أن عينات مشيمة (٩٠%) التي تم إصابتها على المزارع الخلوية كانت نسبتها أقل مما هو عليه الحال بالنسبة لعينات الدم (١٠٠%)، جدول (٣).

جدول ٣: يبين نتائج تفاعل سلسلة البوليميريز ذات الوقت الحقيقي لخلايا الزرع الخلوي المصابة بالطفيلي

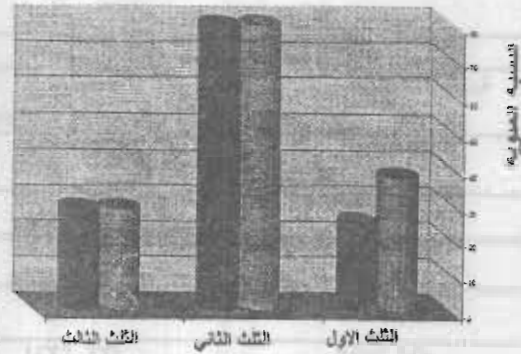
ت	مصدر العينة	أجنة مجهزة	عجول	أبقار
	عدد العينات الايجابية	النسبة المئوية %	عدد العينات الايجابية	النسبة المئوية %
١	مشيمة	-	-	٩٠
٢	دم	-	*	١٠٠
٣	دماغ	٦	٤	-
٤	القلب	٣	٣	-
٥	العضلات الهيكلية	٣	١	-

الإشارة التالية (\*) عدم حصول نمو على المزارع الخلوية

بينت نتائج تنمية الطفيلي في المزارع الخلوية وتشخيصه باستخدام تفاعل سلسلة البوليميريز ذو الوقت الحقيقي في الحيوانات المختلفة بالمقارنة مع العلامات المرضية التي تعاني منها، ظهور أعلى نسبة إصابة في الأجنة المجهزة التي أجهضت في (الثالث الثاني)، حيث بلغت ٨٠% في كلا الطريقتين (شكل ٨-أ)، فيما ظهرت أقل نسبة للإصابة في العجول التي عانت من أعراض عصبية حيث بلغت ٥٠% (شكل ٩-ب)، أما الأبقار فقد سجلت فيها أعلى نسبة إصابة ٤٦,١٧% التي أجهضت في (الثالث الثاني من الحمل)، (شكل ١٠-ج).

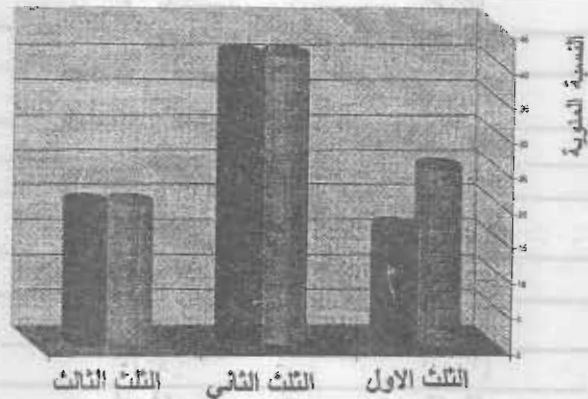


الأعراس بعد الولادة  
الشكل (٩)



عصر الإجهاض  
الشكل (٨)

المزارع الخلوية  
تفاعل سلسلة البوتيرييز



فترة الإجهاض  
الشكل (١٠)

الأشكال (١٠، ٩، ٨) ، تبين نسبة الإصابة بالبوغة الجديدة الكلوية باستخدام المزارع الخلوية واختبار تفاعل سلسلة البوتيرييز وعلاقتها بالعلامات المرضية الطاهرة (شكل-٨- أجنة مجهضة ، شكل-٩-عجول ، شكل-١٠-الأبقار)

بينت نتائج تفاعل سلسلة البوتيرييز ذو الوقت الحقيقي للكشف عن ٣ ذراري البوغة الجديدة الكلوية (BPA4,NC1,NC-5) وجود الدنا للطفيلي في أنسجة الأبقار للذرية NC-5، حيث سجل أعلى نسبة لها في الدم مقارنة بالمشيمة ، أما الدنا للطفيلي الذي تم الكشف عنه في أنسجة العجول للذرية NC5 فتبين أن أعلى نسبة كان في عينات الدماغ فيما انعدم في عينات الدم والعضلات الهيكلية، في حين بينت نتائج فحص أنسجة الأجنة المجهضة للذرية NC5 إن أعلى نسبة كان في أنسجة الدماغ والعضلات الهيكلية.

فيما أظهرت نتائج فحص الدنا للذرية NC1 للعينات التي تم أخذها من الأبقار أن أعلى نسبة كان في أنسجة المشيمة وقد اتعدت النتائج في الدم ،فيما بينت نتائج الفحص في أنسجة العجول انعدام وجود الذرية فيما عدا أنسجة القلب، أما أنسجة الأجنة المجهضة تم الكشف عن الدنا للذرية أفنة الذكر فقط في أنسجة الدماغ.

أما بالنسبة للذرية BPA4 فقد تبين من خلال فحص الدنا في أنسجة الأبقار أن أعلى نسبة إصابة لهذه الذرية كانت في الدم مقارنة بالمشيمة، في حين سجلت أعلى نسبة إصابة للذرية BPA4 للعجول والأجنة في أنسجة العضلات الهيكلية، جدول-٤.



جدول ٤: نتائج اختبار تفاعل سلسلة البوليميريز ذو الوقت الحقيقي يبين أنواع الذراري التي تم عزلها من الأعضاء المختلفة للأبقار ، العجول والأجنة المجهضة في المزارع الخلوية

اسم الذرية	مصدر العينة	نوع العينة	تفاعل سلسلة البوليميريز ذات الوقت الحقيقي	عدد العينات الإيجابية (النسبة المئوية %)	عدد العينات السلبية (النسبة المئوية %)
NC-5	أبقار	مشيمة	٣ (٣٠)	٧ (٧٠)	
		دم	١ (٥٠)	١ (٥٠)	
		دم	*	*	
	عجول	دماغ	٢ (٤٠)	٣ (٦٠)	
		القلب	١ (٣٣,٣٣)	٢ (٦٦,٦٧)	
		العضلات الهيكلية	٠ (٠)	١ (١٠٠)	
أجنة مجهضة	أجنة مجهضة	دماغ	٢ (٣٣,٣٣)	٤ (٦٦,٦٧)	
		القلب	١ (٢٥)	٣ (٧٥)	
		العضلات الهيكلية	١ (٣٣,٣٣)	٢ (٦٦,٦٧)	
	أبقار	مشيمة	٢ (٢٠)	٨ (٨٠)	
		دم	٠ (٠)	٢ (١٠٠)	
		دم	*	*	
Nc1	عجول	دماغ	٠ (٠)	٥ (١٠٠)	
		القلب	١ (٣٣,٣٣)	٢ (٦٦,٦٧)	
		العضلات الهيكلية	٠ (٠)	١ (١٠٠)	
	أجنة مجهضة	دماغ	١ (١٦,٦٦)	٥ (٨٣,٣٤)	
		القلب	٠ (٠)	٤ (١٠٠)	
		العضلات الهيكلية	٠ (٠)	٣ (١٠٠)	
BPA4	أبقار	مشيمة	٤ (٤٠)	٦ (٦٠)	
		دم	١ (٥٠)	١ (٥٠)	
		دم	*	*	
	عجول	دماغ	٢ (٤٠)	٣ (٦٠)	
		القلب	١ (٣٣,٣٣)	٢ (٦٦,٦٧)	
		العضلات الهيكلية	١ (١٠٠)	٠ (٠)	
أجنة مجهضة	دماغ	٣ (٥٠)	٣ (٥٠)		
	القلب	٢ (٥٠)	٢ (٥٠)		
	العضلات الهيكلية	٢ (٦٦,٦٦)	١ (٣٣,٣٤)		

الإشارة التالية (\*) عدم حصول نمو على المزارع الخلوية

## DISCUSSION المناقشة

بينت نتائج هذه الدراسة الكشف عن طفيلي البوغة الجديدة الكلبيية في محطات الأبقار في سوريا من خلال عزله من أنسجة الحيوانات المصابة على خلايا الزرع الخلوي من نوع خلايا كلية أجنة القروود الأفريقية الخضراء ، حيث أظهرت الأنسجة (الدماغ ، عضلة القلب ، العضلات الهيكلية، المشيمة والدم) ، التي تم هضمها بالترسين والمنتقاة من الحيوانات المصابة (أجنة مجهضة ، عجول مولودة حديثاً والأبقار) ، إذ لوحظ نمو على خلايا الزرع الخلوي وينسب متفاوتة ، حيث أظهرت المزارع الخلوية بعد حقنها بمستخلص النسيج وجود تغيرات مرضية خلوية وازدادت بتقدم التمريرة وفترة ظهورها ، إن هذه الاختلافات تعود لقابلية الذراري للبوغة الجديدة الكلبيية للنمو بفترات زمنية مختلفة ، حيث يبين (Katarina *et al.*, 2011) ، حصول نمو للذرية (NC-SKB1) ، بعد ١١ تمريرة ، بينما بين (Sawada *et al.*, 2000) ، حصول نمو للذرية (BT-3) ، بعد ٦ تمريرات. ويمكن تفسير هذا التباين بقابلية كل ذرية لسرعة تكيفها ونموها على خلايا الزرع الخلوي وملائمة نوع الخلايا لها (Goździk and Cabaj, 2007) ، وقد تباينت التغيرات المرضية الخلوية في سرعة ظهورها وأشكالها حيث كانت متمثلة بظهور فجوات ، تمزق الخلايا وظهور الحيوانات التسرع حيث ازدادت بتقدم التمريرة واختلاف الأعضاء والحيوانات ، إن هذه الاختلافات تعود إلى الاختلاف في عدد الحيوانات التسرع في العينات حيث أنه كلما ازداد عددها زادت سرعة ظهورها إضافة إلى الاختلافات في ضراوة ذراري البوغة الجديدة الكلبيية

(Okeoma *et al.*, 2004)، وقد بينت نتائج الكشف عن الدنا باستخدام تفاعل سلسلة البوليميريز ذو الوقت الحقيقي للبوغعة الجديدة الكلبيية في المزارع الخلوية التي ظهر عليها النمو، حيث كان بنسبة عالية في أنسجة الأمعنة والعضلات الهيكلية للأجنة المجهضة، والقلب والعضلات الهيكلية للعجول حديثة الولادة، بينما كان في الأبقار بنسبة متقاربة في الدم والمشيمة، إن الاختلاف في نسب ظهور ونمو البوغعة الجديدة الكلبيية في المزارع الخلوية للأعضاء المختلفة قد يعود لعدة أسباب منها: إن أنسجة المشيمة والأجنة تظهر فيها نسبة إصابة منخفضة نتيجة تعرضها للتلف أو للتدخل الذاتي مما يقلل من فرصة تشخيصها بصورة صحيحة (Collantes *et al.*, 2006)، بينما بينت دراستنا أن نسبها عالية نتيجة التعامل المباشر والاتي مع العينة دون اللجوء إلى حفظها ومعاملتها بعد فترة زمنية من الحفظ، فيما بين آخرون (Wisniewski *et al.*, 2002)، أن نسبة الإصابة تكون متباينة حسب موقع المشرع ونوعه حيث تبين أن المشرع للجين Nc5 يكون ذو حساسية عالية للكشف عن هذا الطفيلي نتيجة عدم تواجده في الاوالي التي تمتلك علاقة مستضدية مع البوغعة الجديدة الكلبيية (*Toxoplasma gondii*, *Sarcocystis SPP*, *Hammondoia hammondi*)، مما يرفع من دقة التشخيص.

وأظهرت النتائج عدم حصول نمو في عينات الدم للعجول وكذلك تواجد الطفيلي بنسب منخفضة في دم الأبقار، وقد يعود السبب في ذلك إلى مرحلة تطور وانتقال الطفيلي داخل الثوي المتوسط، حيث أنه يكون بأعداد كبيرة في مرحلة الطفيلية دون المراحل الأخرى مما يؤثر على نسب الإصابة (Aline *et al.*, 2009)، وبينت النتائج كذلك وجود الدنا للطفيلي في المزارع الخلوية بنسب عالية ومرتفعة، وقد يعود السبب في ذلك لاستخدامنا أكثر من مشرع للكشف عن ذراري البوغعة الجديدة الكلبيية، وهذا يختلف عن ما ذكره (Salehi *et al.*, 2009)، حيث كانت النسبة منخفضة نتيجة لاستخدامه نوع واحد من المشروعات، وقد فسر سبب النقص المنخفض من قبل باحثين آخرين (Medina, 2006)، باستخدام المشرع ITS1 والذي يمتلك حساسية أقل مما هو عليه حال بالنسبة للذي يتمتع به المشرع Nc5.

بينت نتائج هذه الدراسة العلاقة ما بين الأعراض المرضية و عدد العينات الايجابية لكل من المزارع الخلوية وتفاعل سلسلة البوليميريز ذو الوقت الحقيقي، حيث أن هناك تبايناً ما بين المجاميع، حيث بينت نتائج الفحص للأجنة المجهضة أن أعلى نسبة إصابة لكلا الطريقتين كانت في الأجنة التي أجهضت في (الثالث الثاني)، وقد يعود السبب في ذلك إلى أن الأجنة في الثلث الأول من الحمل في حال كونها مصابة تكون الإصابة في بداية تكونها وعدد الحيوانات التسرعية فيها قليلاً، في حين أن الأجنة في الثلث الأخير من الحمل تكون الحيوانات التسرعية في أنسجتها قليلة نتيجة قابلية جهازها المناعي لتكوين استجابة مناعية، بالإضافة إلى الاستجابة المناعية لأجسام أمهاتها مما قد يقلل من تكاثر وانتشار الطفيلي في أنسجتها (Corbellini, 2002)، أما العجول فكانت أعلى نسبة إصابة في تلك التي أظهرت عدم قدرتها على النهوض مع أعراض تظهر فشلاً عضلياً وعضيبياً، وقد يعود السبب في ذلك لظهور أعراض على هذه العجول ناجمة عن إصابة بالبوغعة الجديدة الكلبيية فضلاً عن ضعف النمو في أجسامها مما قد يساعد في انتشار وتقدم الإصابة (Hemphill *et al.*, 2000)، أما عند الأبقار فلوحظ أن أعلى نسبة إصابة كانت في أبقار التي أجهضت (الثالث الثاني من الحمل)، وقد يعود السبب في ذلك إلى دور الإصابة المزمنة حيث أن الإصابة تنشط نتيجة تحطم الأكياس النسجية وتحول الحيوانات البطيئة إلى الحيوانات التسرعية نتيجة لعملية تسمى (Bradyzoites-to-Tachyzoites Reconversion)، وذلك نتيجة أي خلل في الجهاز المناعي أو الحمل، وإن إعادة تنشيط الإصابة المزمنة بأخذ فترة من الزمن مما قد يقلل من فرصة حدوث الإجهاض في الثلث الأول من الحمل نتيجة الإصابة بالبوغعة الجديدة الكلبيية (Guy *et al.*, 2001)، في حين أن الثلث الأخير من الحمل تقل فيه نسبة الإصابة نتيجة للاستجابة المناعية والتي تقلل من أعداد الحيوانات التسرعية في المشيمة (Bergeron *et al.*, 2000).

وقد بينت نتائج الكشف عن أنواع الذراري المعزولة في خلايا الزرع الخلوي والتي جرى الكشف عنها وتصنيفها باستخدام ثلاثة أزواج من المشروعات للذراري (BPA4؛Nc1؛NC-5)، باستخدام تفاعل سلسلة البوليميريز ذو الوقت الحقيقي وجود تباين في نسب تواجدها في الأعضاء والحيوانات حيث كانت أعلى نسبة للذرية NC-5 في عينات الأبقار التي تم العزل منها، في حين سجلت الذرية BPA4 أعلى نسبة إصابة لكل من العجول والأجنة، إن هذا التباين يعود لعدد أسباب منها، الاختلاف في ضراوة الذراري المسببة للإصابة حيث إن الدراسات لم تثبت إلى حد الآن مدى ضراوة جميع الذراري للبوغعة الجديدة الكلبيية في الأبقار، وذلك نظراً للكلفة المادية العالية لإجراء ذلك فيما عدا استخدام الحيوانات المخبرية بالإضافة إلى أن البوغعة الجديدة الكلبيية قابلية لإصابة أعضاء دون الأخرى، لكل ذرية حسب خصائصها الحيوية (البيولوجية) والجينية، لذلك فإن نسب انتشارها وتواجدها في الأعضاء تكون متباينة (Al-Qassab *et al.*, 2010)، فيما ذكر آخرون (Alexander *et al.*, 2011)، أن ذراري البوغعة الجديدة الكلبيية التي تصيب الكلاب تصيب الأبقار على حد سواء.

وقد أكد (Sager, 2001) أن تشخيص البوغعة الجديدة الكلبيية يتطلب استخدام أكثر من اختبار، ويتعلق ذلك بمبدأ الحساسية والنوعية للتشخيص.

## REFERENCES

### المصادر

- Alexandre, D.M.; Ana, P.P.J. and Rosangela, Z.M. (2011): Bovine abortion Associated with *Neospora caninum*: Diagnosis and Epidemiological Aspects of a dairy cattle herd in the Northeast region of Sao Paulo State, Brazil. Brazilian Journal Of Veterinary Parthology, 4(2): 112-116.
- Aline, D.C.; Clarice, N.C.; Nara, T.C.; Liria, H.O.; Edviges, M.P. and Claudia, D.F. (2009): Diagnosis of *Neospora caninum* in bovine fetuses Histology, immunohistochemistry, and nested-PCR. Rev Bras Parasitol. Vet., 18(4): 14-19.
- Al-Qassab, S.E.; Michael, P.R. and John, T.E. (2010): On the biological and Genetic diversity in *Neospora caninum*. Diversity, 2: 411-438.
- Bergeron, N.; Girard, C.; Pare, J.; Fecteau, G.; Robinson, J. and Baillargeon, P. (2000): Rare detection of *Neospora caninum* in placentas from Seropostive dams giving birth to full-term calves. J. Vet. Diag Invest, 13: 1169-172.
- Bjerkas, I.; Mohn, S.F. and Piesthus, J. (1984): Unidentified cyst-forming Sporozoan causing Encephalomyelitis and Myocystitis in dogs. Z Parasitinkd, 70: 271-274.
- Collantes, F.E.; Rodriguez, B.A.; Arnaiz, S.I.; Moreno, B.; Aduriz, G. and Ortega, L. (2006): Influence of the stage of pregnancy on *Neospora caninum* Distribution parasite loads and lesion in aborted bovine fetuses. Theriogenology, 10: 629-641.
- Corebellini, L.C. (2002): Neosporosis as a cause of abortion in dairy cattle in Rio Grande do Sul, Southern Brazil. Veterinary Parasitology, 103(3): 195-202.

- Dubey, J.P.; Schares, G. and Ortega-Mpra, L.M. (2007): Epidemiology and control of neosporosis and *Neospora caninum*. Clinical Microbiology Review, 20(2): 323-367.
- Esther, C.F.; Angel, Z.; Gema, A.G. and Luis, M.O. (2002): Quantitative detection of *Neospora caninum* in bovine aborted fetuses and experimental Infected Mice by Real-Time PCR. Journal of Clinical Microbiolog, 40(4): 1194-1198.
- Gozdzik, K. and Cabaj, W. (2007): Characterization of the first Polish isolate of *Neospora caninum* from cattle. Acta Parasitologica, 52: 295-297.
- Guy, C.S.; Williams, D.J.L.; Kelly, D.F.; McGarry, J.W.; Guy, F.; Bjorkman, C.; Smith, R.F. and Trees, A.J. (2001): *Neospora caninum* in persistently Infected pregnant cows spontaneous transplacental infection is Associated: with an acute increase in maternal antibody. Vet. Rec., 149: 443-453.
- Habibi, G.R.; Hashemi, F.R.; Sadrebazzaz, A.; Bozorgi, S. and Bordbar, N. (2005): Seminested PCR for diagnosis of *Neospora caninum* infection in Cattle. Arch Razi Ins, 59: 55-64.
- Hemphill, A.; Gottstein, B. and Conraths, F.J. (2000): A European perspective on *Neospora caninum*. Int. J. Parasitol, 30: 877-924.
- Jessica, S.K.; Bronwyn, M.; Derek, S.S.; Scott, A.L.; Lada, H.H.; Ashile, H.; Sarwat, E.L.; John, T.E. and Jan, S. (2011): Extensive production of *Neospora caninum* tissue cysts in a carnivorous marsupial Succumbing to experimental neosporosis. Vet. Res., 42(1): 75-86.
- Katarina, R.; Silvia, S.; Andrea, C. and Rastislav, M. (2011): First in vitro Isolation of *Neospora caninum* from naturally infected adult dairy Cow in Slovakia. Acta Parasitologica, 56(2): 111-115.
- Masumi, S.; Hisayo, K.; Yukiko, T.; Chun-Ho, P.; Takehito, M.; kinori, S.; and Takashi, U. (2000): Isolation of *Neospora caninum* from The brain of a naturally infected adult dairy cow. Veterinary Parasitology, 90: 247-252.
- Medina, L. (2006): Survey of *Neospora caninum* infection by nested PCR in Aborted fetuses from dairy farms in Aguascalientes, Mexico. Veterinary Parasitology, 136(4): 187-191.
- Nathalie, V. (2003): Hiding inside the host: Development and application of *Neospora caninum* bradyzoites in vitro culture. PhD Thesis, University of Basel, Germany, PP: 29-34.
- Norbert, M.; Nathalie, V.; Christian, G.; Stephen, L.L. and Andrew, H. (2002): Application of Real-Time fluorescent PCR for Quantitative Assessment of *Neospora caninum* infections in organotypic Slice cultures of rat central nervous system tissue. J. Clinic Microbiology, 40(1): 252-255.
- Okeoma, C.M.; Williamson, N.B.; Pomroy, W.E.; Stowell, K.M. and Gillespite, L.M. (2004): Isolation and molecular characterization of *Neospora caninum* In cattle in New Zealand. New Zealand Veterinary Journal, 52: 364-370.
- Rai, A. (2008): Laboratory manual of cell culture and animal virology, Indian Veterinary research Institute, India, PP: 8-12.
- Sager, H. (2001): A Swiss case –control study to assess *Neospora caninum* Associated bovine abortions by PCR, histopathology and serology. Veterinary Parasitology, 102(1): 1-15.
- Salehi, N.; Haddadzadeh, H.; Ashrafihelan, J.; Shayan, P. and Sadrebazzaz, A. (2009): Molecular and pathological study of bovine aborted fetuses And placenta from *Neospora caninum* infected dairy cattle. Iranian J. Parasitol, 4(3): 40-51.
- Sawada, M.; Kondo, H.; Tomioka, Y.; Park, C.H.; Morita, T.; Shimada, A. and Umemura, T. (2000): Isolation of *Neospora caninum* from the Brain a naturally infected adult dairy cow. Veterinary Parasitology, 90: 247-252.
- Timothy, V.B.; Lawrence, J.C.G.; Maureen, T.L. and Bruce, A.M. (1999): Detection by PCR of *Neospora caninum* in fetal tissue from Spontaneous bovine abortions. Journal of Clinical Microbiology, 37(12):4059-4064.
- Yamane, I.; Kokuho, T.; Shimura, K.; Eto, M.; Shibahara, T.; Haritani, M.; Ouchi, Y.; Sverlow, K. and Conrad, P.A. (1997): In Vitro isolation and Characterization of a bovine *Neospora* Species in Japan. Res. Vet. Sci., 63: 77-80.
- Wisniewski, M.; Cabaj, W.; Moskwa, B. and Wedrychowicz, H. (2002): The First detection of *Neospora caninum* DNA in brains of calves in Poland. Acta Veterinaria, 52(6): 393-400.